

I-148 L型, U型サンドイッチ断面の座屈解析について

徳山高専 正員○重松恒美, 正員 原 隆
愛媛大学 正員 見天繁光, 正員 大賀水田生

1. 概説

サンドイッチ断面は2枚の薄い表板の間に心材をはさみこんだ複合断面である。表板としては面内剛性の大きい金属板、FRP板などがあり、また心材としてはハニカム状、格子状、トラス状、円筒状など各種のものが用いられる。これら表板と心材の組み合わせを使用目的に応じて自由に選択できる。このような構造断面を図-1¹⁾に示す。サンドイッチ構造は、軽量かつ剛性が要求される航空機、車両、舟艇等ばかりでなく、建築分野では現代の特徴である省力化のため、プレハブ化、ユニット化された部材として用いられている。土木分野においても、構造鋼等を表板、心材に使用することによりその使用目的を十分達成することができるようと思われる。そこで本研究では、図-1に示すようなサンドイッチ断面を通常の薄肉断面部材（例えはL型、U型断面）のように折り曲げ、座屈解析を行なう。²⁾ サンドイッチ板の座屈問題はせん断变形を考慮して、多くの研究者により解析されていく。また、薄肉断面部材の座屈問題も折り曲げ時に単純支持条件を考慮して解析されていくが、本研究の場合の解析例は無いように思われる。そこで著者は、Klöppel³⁾らが通常の補剛板の座屈解析に対し、板パネル自体の座屈のみならず隣接する板パネルの相互作用を考慮し、板パネルの接合点において近似的に単純支持として扱は、[2]手法を本研究の解析に使用した。解析結果はWurmnest³⁾の解と比較して理論の妥当性を検討した。

2. 理論解析

本研究の解析には伝達マトリクス法を用いる。荷重支持条件として図2に示すように、一方間に等分布圧縮荷重を受け、荷重に垂直な二辺は単純支持されている。格間伝達マトリクスはつりあい条件式および変形条件式から得られる状態量ベクトルZに関する連立一階常微分方程式を級数展開することにより誘導される。

$$\frac{d}{dz} Z = A \cdot Z \quad (1)$$

ここで、 $Z = [w, \psi_x, \psi_y, M_{x,y}, \theta_x, \theta_y]^T$

A = 係数マトリクス

式(1)の解は次のように求められる。

$$Z = e^{Az} Z_0 = F \cdot Z_0 \quad (2)$$

ここで Z_0 は $z=0$ の初期状態量ベクトルであり、Fは格間伝達マトリクスである。これを図3に示す上記、U型断面に適用すると次のようになる。

L断面について。

$$\left. \begin{aligned} Z_n &= F_{0,n} \cdot Z_0 \\ Z_{n+2} &= F_{n+1,n+2} \cdot Z_{n+1} \end{aligned} \right\} \quad (3)$$

隣接する板とつりあい条件と連続条件を考慮し、さらに接合点で近似的に単純支持条件を考慮すれば、

$$\left. \begin{aligned} w_n &= \bar{w}_{n+1} = 0, \psi_{yn} = \bar{\psi}_{y(n+1)}, \psi_{xn} = \bar{\psi}_{x(n+1)} = 0 \\ M_{xyn} &+ \bar{M}_{xyn+1} = 0, M_{yn} + \bar{M}_{yn+1} = 0 \end{aligned} \right\} \quad (4)$$

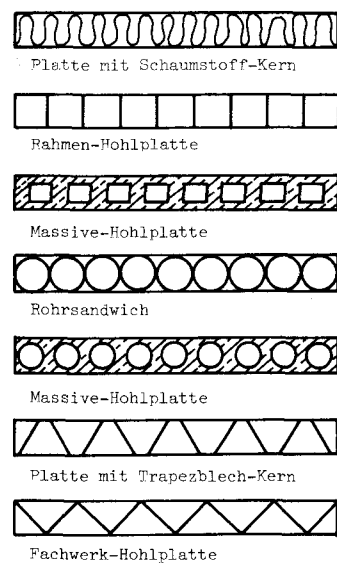


図-1 サンドイッチ断面

同様に U 断面について、

$$\left. \begin{aligned} Z_{n+1} &= F_{n,n+1} \cdot Z_n \\ Z_{n+3} &= F_{n+2,n+3} \cdot Z_{n+2} \\ Z_{n+5} &= F_{n+4,n+5} \cdot Z_{n+4} \end{aligned} \right\} \quad (5)$$

そして、

$$\left. \begin{aligned} W_n &= W_{n+2} = W_{n+3} = W_{n+4} = 0 \\ \varphi_{yn} &= \varphi_{y,n+2}, \varphi_{y,n+3} = \varphi_{y,n+4} \\ \varphi_{xn} &= \varphi_{x,n+2} = \varphi_{x,n+3} = \varphi_{x,n+4} = 0 \\ M_{xy,n} + M_{xy,n+2} &= 0, M_{xy,n+3} + M_{xy,n+4} = 0 \\ M_{y,n} + M_{y,n+2} &= 0, M_{y,n+3} + M_{y,n+4} = 0 \end{aligned} \right\} \quad (6)$$

ここで、 $Z_0 \sim Z_{n+5}$ は格点 0 から $n+5$ の状態量ベクトルであり、 $F_{0,n} \sim F_{n+4,n+5}$ は格間伝達マトリクスである。

さらに、L 断面では Z_0, Z_{n+2} 、U 断面では Z_{n+1}, Z_{n+5} の境界条件を考慮することにより座屈条件式が得られる。

3. 数値計算結果および検討

前節で求められた座屈条件式を用いて数値計算を行なった。数値計算に用いたパラメータは、形状比 β 、板厚比 λ 、板幅比 β 、板粗長比 ϵ など、世人断面性比と等である。図 4 に L 断面に対して、形状比と座屈係数 (= $\frac{\text{最大荷重}}{\text{初期荷重}}$) の関係を板幅比 β をパラメータとして示している。 $\epsilon = 0.1$ であり、 $\beta = 0.4 \sim 0.8$ で最大の座屈値を示している。太線は式(3), (4)より求めた解で折り曲げ部で近似的に剛な支点と考えた場合のものである。破線は Wurmnest³⁾により求められた。荷重は垂直に二辺が単純支持され、他の二辺は一端単純支持 ($\psi_x = \psi_y = F_x = F_y = 0$)、他端自由りサニドイド平板の世人断面形を考慮した座屈値である。本法による解とよく一致しているが、本法の場合モード $X = 1$ とする $\psi_x = 0$ としているため、Wurmnest の解より若干大きな値が得られている。粗線は折り曲げ部の接点を柔らか支点と考えた場合の座屈値で支点にて世人断面形を考慮したものである。一点鎖線は非載荷辺の単純支点に柔らか支承条件 ($\psi_x = \psi_y = M_y = 0$) を適用した Wurmnest³⁾ の解である。同様に本報の解とよく一致している。図 5 に U 断面に対して、板幅比 $\beta = 0.4$ (最大の座屈値) のときの、その変化による座屈係数を示している。図中の破線は Wurmnest³⁾ が求めた四辺単純支持のサニドイド平板 ($\epsilon = 0.1$) の座屈値である。本報の解が若干大きい値を示していることがわかる。本研究では、直接比較する文献も少なく、近似的に文献と比較してかほほ理論の妥当性は確認できぬまことに思われる。

- <参考文献>
- 1). H. Bode ; Elastische Berechnung von Platten mit Schubverformung, Die Bautechnik 6/1976
 - 2). K. Klöppel ; Beulwerte der dreiseitig gelenkig gelagerten, ---, Der Stahlbau 12/1968
 - 3). W. Wurmnest ; Untersuchung der Stabilität einseitig gedrückter, ---, Der Stahlbau 6/1971

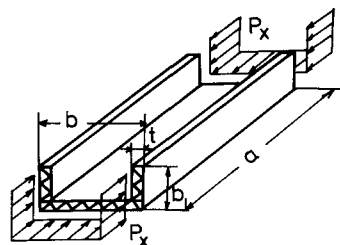


図-2 荷重、支持状態

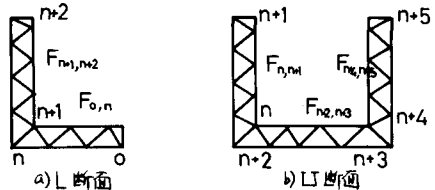


図-3 断面図

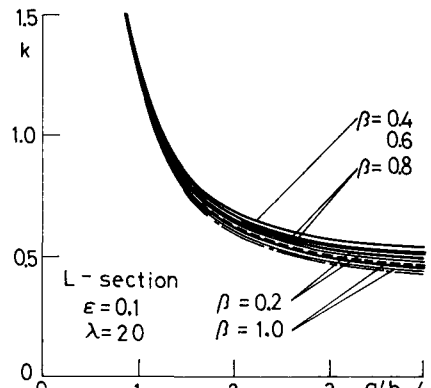


図-4 座屈係数

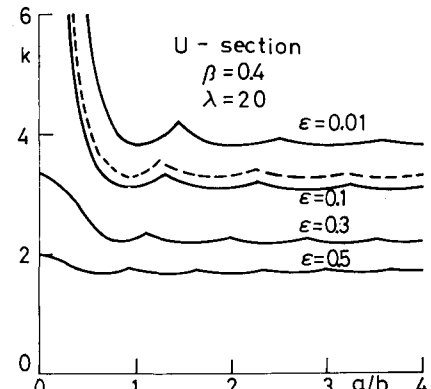


図-5 座屈係数